

УДК 537.634.2

**СПИНОВЫЕ ВОЛНЫ
В ОДНООСНОМ СЛАБОМ ФЕРРОМАГНЕТИКЕ
С ПРОДОЛЬНОЙ ЗВУКОВОЙ ВОЛНОЙ В ПЛОСКОСТИ БАЗИСА**

A. Ф. Кабыченков, В. Г. Шавров, А. Л. Шевченко

Рассмотрено взаимодействие спиновых волн с продольной звуковой волной, распространяющейся в легкой плоскости одноосного слабого ферромагнетика вблизи ориентационного фазового перехода. Определены области устойчивости и неустойчивости и спектр спиновых волн в этих областях. Неустойчивость возникает, если скорость звука превышает характерную скорость спиновых волн. Показано, что усиление спиновых волн возможно в узком интервале скоростей спиновых волн вблизи скорости звука. Вычислены порог параметрического усиления спиновых волн, а также инкремент нарастания амплитуды волны. Определены поправки к скорости звука за счет взаимодействия с магнитной подсистемой.

Коллинеарные продольная звуковая и спиновая волны, распространяющиеся в легкой плоскости (ЛП) магнетика в направлении внешнего магнитного поля, линейно не связаны. Нелинейная магнитоупругая (МУ) связь возникает из-за модуляции благодаря магнитострикции эффективного поля анизотропии звуком. Если амплитуда распространяющейся в магнетике упругой волны (УВ) достаточно велика, чтобы не учитывать влияние на нее магнитной подсистемы, то нелинейное МУ взаимодействие сводится к параметрическому. Слабые возбуждения магнитной подсистемы в данном случае соответствуют спиновым волнам (СВ) в среде с заданной динамической неоднородностью и могут быть как затухающими, так и нарастающими во времени и в пространстве. Параметрическая накачка магнитной подсистемы ферромагнетика УВ в двухволновом приближении без анализа устойчивости рассматривалась в [1-3]. Устойчивость в средах с пространственно-временной модуляцией на основе модели индуктивно-емкостной линии без дисперсии и диссипации изучалась в [4]. Метод, развитый в [4], использовался при рассмотрении СВ в ферромагнетиках с пространственно-временной неоднородностью в случае устойчивости магнитной подсистемы [5]. Указанная неоднородность могла быть вызвана распространяющейся в ферромагнетике УВ.

В настоящей работе исследуется устойчивость магнитной подсистемы одноосных слабых ферромагнетиков кристаллографической группы D_{3d}^6 (α - Fe_2O_3 , FeBO_3 , FeF_3 , MnCO_3 , NiCO_3 и др.), в плоскости базиса которых в направлении внешнего магнитного поля параллельно оси ЛП анизотропии распространяется продольная УВ большой амплитуды. Также исследуется распространение СВ в данных магнетиках. Выбор ЛП магнетиков обусловлен тем, что с уменьшением величины внешнего магнитного поля данные магнетики приближаются к точке ориентационного фазового перехода (ОФП). При этом МУ связь эффективно возрастает за счет «обменного усиления» и очень слабой ЛП анизотропии [6].

1. Основные уравнения

Уравнения движения магнитных моментов подрешеток и упругости получены на основе формализма Лагранжа. Решение этих уравнений будем искать в виде ряда по параметру $\epsilon = B_{66} \sin^2 \varphi^{(0)} / u_{xx}^{(0)} c_{11} \ll 1$, который определяет влияние магнитной подсистемы на упругую. Здесь B_{66} , c_{11} — константы магнитоупругости и упругости; $\varphi^{(0)}$ — максимальное значение азимутального угла φ вектора антиферромагнетизма \mathbf{L} ; $u_{xx}^{(0)}$ — амплитуда упругих деформаций. В нулевом приближении по ϵ система МУ уравнений имеет решение в виде несвязанных УВ и СВ. В первом приближении при $ak^2 \ll e$ (a , e — константы неоднородного и однородного обмена; k — волновое число) и без учета переменных магнитных полей уравнение для φ имеет вид

$$\varphi + R\dot{\varphi} - s^2 \Delta \varphi + (\omega_H^2 + \mu u_{xx} \cos \varphi) \sin \varphi = 0. \quad (1)$$

Здесь R — параметр затухания; $s^2 = a' g^2 M_0^2 e / 4$; a' — константа неоднородного обмена; M_0 — величина магнитного момента подрешеток; g — гиромагнитное отношение; $\mu = B_{66} g^2 e / 2$; $u_{xx} = u_{xx}^{(0)} \cos \xi_0$ — деформации, обусловленные УВ; $\xi_0 = k_0 x - \omega_0 t$; k_0 , ω_0 — волновое число и частота УВ; $\omega_H^2 = (h_x \psi_0 + 14 b_1) g^2 M_0^2 e / 2$; $\psi_0 = d/e$ — щель в спектре низкочастотных СВ; d , b_1 — константы Дзялошинского и ЛП анизотропии; $h_x = H_0 / M_0$; H_0 — постоянное внешнее магнитное поле. Уравнение (1) справедливо при малом выходе векторов магнитных моментов подрешеток \mathbf{M}_1 и \mathbf{M}_2 из плоскости базиса и их слабой неколлинеарности. Эти условия выполняются вдали от точек ОФП типа «легкая ось — легкая плоскость» и при $h_x \ll d \ll e$. Численные оценки показывают, что для типичных ЛП магнетиков данные условия (наряду с условием $\epsilon \ll 1$) могут быть легко реализованы в эксперименте. Уравнения движения для углов, характеризующих выход \mathbf{L} из плоскости базиса и подгиб векторов \mathbf{M}_1 и \mathbf{M}_2 , имеют аналогичный (1) вид. Частоты колебаний, соответствующие этим углам, на несколько порядков больше щели в спектре колебаний φ . Поэтому наиболее эффективно с УВ будут взаимодействовать низкочастотные СВ.

2. Устойчивость магнитной подсистемы

Исследуем устойчивость основного состояния $\varphi_0 = 0$. Для этого рассмотрим малые колебания φ , которые описываются линеаризованным уравнением (1). Эти колебания можно представить в виде суперпозиции собственных волн. Поскольку УВ создает периодическую пространственно-временную неоднородность, то собственные волны намагниченности будут описываться блоховскими функциями вида

$$\varphi_{\omega \mathbf{k}} = \sum_{n=-\infty}^{\infty} \varphi_{\omega \mathbf{k} n} \exp \{i[(\omega + n\omega_0)t - (\mathbf{k} + n\mathbf{k}_0)\mathbf{r}]\}, \quad (2)$$

где $\varphi_{\omega \mathbf{k} n} = \varphi_n$ — амплитуда n -й гармоники, $\mathbf{k}_0 = (k_0, 0, 0)$. Подставляя (2) в линеаризованное уравнение (1), получим бесконечную систему алгебраических уравнений

$$a_n \varphi_n + \lambda (\varphi_{n+1} + \varphi_{n-1}) = 0, \quad (3)$$

где $a_n = -(\tilde{\Omega} + n)^2 + v^2(x + nx_0)^2 + \Omega_H^2 - \rho^2/4$, $\tilde{\Omega} = \Omega - i\rho/2$, $\Omega = \omega/\omega_0$, $\rho = R/\omega_0 \geq 0$, $v = s/v_0$, $v_0 = \omega_0/k_0$, $x = \mathbf{k}/k_0$, $\Omega_H = \omega_H/\omega_0$, $\lambda = B_{66} e u_{xx}^{(0)} / 2M_0^2$ — параметр МУ связи. Из (3) находим дисперсионное уравнение

$$D(\Omega, x) = \begin{vmatrix} \cdot & \cdot & \cdot & \cdot & \cdot \\ \cdot & a_{n-1} & \lambda & 0 & \cdot \\ \cdot & \lambda & a_n & \lambda & \cdot \\ \cdot & 0 & \lambda & a_{n+1} & \cdot \\ \cdot & \cdot & \cdot & \cdot & \cdot \end{vmatrix} = a_n - \frac{\lambda^2}{[a_{n-1}]} - \frac{\lambda^2}{[a_{n+1}]} = 0 \quad (4)$$

и соотношение между амплитудами гармоник

$$\frac{\varphi_n}{\varphi_{n\pm 1}} = - \frac{\lambda}{a_n - \lambda^2/[a_{n\pm 1}]} = - \frac{[a_{n\pm 1}]}{\lambda}, \quad \frac{\varphi_n}{\varphi_0} = \frac{\varphi_n}{\varphi_{n\mp 1}} \frac{\varphi_{n\mp 1}}{\varphi_{n\mp 2}} \dots \frac{\varphi_{\pm 1}}{\varphi_0}, \quad (5)$$

где $[a_{n\pm 1}] = a_{n\pm 1} - \lambda^2/(a_{n\pm 2} - \lambda^2) / \dots$ — цепные дроби, а верхний и нижний знаки берутся соответственно при $n \geq 0$. Выражения (2), (4), (5) характеризуют в целом собственные волны магнитной подсистемы. Соотношение (4) неявно определяет зависимость $\Omega(\mathbf{x})$ или $\mathbf{x}(\Omega)$. Из свойств блоховской функции следует $\omega(\mathbf{k}) = \omega(\mathbf{k} + nk_0) - n\omega_0$ и $\omega(\mathbf{k}) = -\omega^*(-k^*)$, а также $\mathbf{k}(\omega) = \mathbf{k}(\omega + n\omega_0) - nk_0$ и $\mathbf{k}(\omega) = -k^*(-\omega^*)$. При одновременном смещении ω на $n\omega_0$ и \mathbf{k} на nk_0 дисперсионные характеристики совмещаются с исходными. Поэтому достаточно исследовать спектр колебаний намагниченности в первой зоне Бриллюэна — полосе, ограниченной плоскостями, нормальными к дисперсионной прямой УВ и проходящими, например, через начало координат и точку ($\Omega=1, x_x=1$) [7]. Если для всех действительных \mathbf{x} и комплексных Ω , удовлетворяющих (4), $\text{Im } \Omega = \Omega'' \geq 0$, то магнитная подсистема устойчива. Если же существуют действительные \mathbf{x} и комплексные Ω с $\Omega'' < 0$, удовлетворяющие (4), то состояние $\varphi_0=0$ неустойчиво. Амплитуда волн (2) нарастает со временем. При $\lambda \ll 1$ дисперсионное уравнение (4) можно представить в виде ряда по λ^2

$$D(\Omega, \mathbf{x}) = \prod_{n=-\infty}^{\infty} a_n \left\{ 1 - \lambda^2 \sum_{m=-\infty}^{\infty} a_m^{-1} a_{m+1}^{-1} \left[1 - \lambda^2 \sum_{l=-\infty}^{\infty} a_{m+l}^{-1} a_{m+l+1}^{-1} (1 - \dots) \right] \right\} = 0. \quad (6)$$

В нулевом приближении по λ^2 из (6) получаем опорный спектр в виде набора дисперсионных поверхностей (кривых при $x_\perp^2 = x_y^2 + x_z^2 = 0$) невзаимодействующих гармоник

$$\tilde{\Omega}_n = -n \pm [\nu^2(x_x + n)^2 + \nu^2 x_\perp^2 + \Omega_H^2 - \rho^2/4]^{1/2}, \quad (7)$$

знаки « \pm » соответствуют верхней и нижней поверхностям, соединенным вертикальной линией. Инкремент затухания гармоник $\Omega_n'' = \rho/2 > 0$. Все гармоники получаются из нулевой путем смещения последней вдоль дисперсионной прямой УВ на расстояние $nk_0(1+\nu_0^2)^{1/2}$. Опорные поверхности (7) с индексами n и $n+l$ пересекаются по линиям синхронизма

$$\tilde{\Omega}_{n, n+l} = -n - \frac{1}{2}l \pm \nu Q_l^{1/2}, \quad x_{zn, n+l} = -n - \frac{1}{2}l \pm \nu^{-1} Q_l^{1/2}, \quad (8)$$

где

$$Q_l \equiv Q_{n, n+l} = l^2/4 + (\Omega_H^2 + \nu^2 x_{\perp, l}^2 - \rho^2/4)(\nu^2 - 1)^{-1} > 0, \quad x_{\perp, l} \equiv x_{\perp, n, n+l}.$$

Будем считать, что $\Omega_H^2 \ll \rho^2/4$. В случае $\nu^2 > 1$ всегда $Q_l > 0$ и, следовательно, пересекаются все поверхности (7). Пересечение происходит только между верхними и только между нижними дисперсионными поверхностями по линиям типа парабол (соответственно знаки « \pm » в (8)). В случае $\nu^2 < 1$ пересекаются между собой только верхние и нижние дисперсионные поверхности ($n+l$ -й и n -й гармоник при условии $\nu^2 < [l^2 - 4\Omega_H^2]/[l^2 + 4x_{\perp, l}^2]$). Пересечение происходит по линиям типа эллипса. При $Q_l = 0$ эллипс стягивается в точку. Рассмотренное приближение справедливо вдали от линий пересечения гармоник, когда $\lambda^2 a_n^{-1} a_{n+l}^{-1} \ll 1$. Здесь амплитуда волны (2) не увеличивается. Вблизи линий синхронизма $\lambda^2 a_n^{-1} a_{n+l}^{-1} \sim 1$ и дисперсионные зависимости отклоняются от (7).

В окрестности линий пересечения дисперсионных поверхностей соседних гармоник из (8) с точностью до λ^2 получаем

$$\Delta\Omega_{\pm} = \nu x_{\perp, l}^{(\pm)} \Delta x \pm [(\nu x_{\perp, l}^{(\pm)} \Delta x)^2 + \Delta]^{\nu/2} + i(\rho/2). \quad (9)$$

Здесь $\Delta\Omega = \Omega - \Omega_{n, n-1}$, $\Delta x = x - x_{n, n-1}$, причем $\Delta\Omega \ll 2\Omega_{n, n-1}$, $2(\Omega_{n, n-1} - 1)$, а $\Delta x^2 \ll 2\Delta x x_{n, n-1}$, $2\Delta x(x_{n, n-1} - x_0)$; $v_{n+l} = \nu^2 [x_{n, n+l} + (n+l)x_0](\Omega_{n, n+l} +$

$\pm n + l)^{-1}$ — групповые скорости гармоник в точке синхронизма; $v_{\{ \pm \}}^{(\pm)} = (v_n \pm v_{n+l})/2$, причем здесь $l = -1$; $\Lambda = \lambda^2/[4(\Omega_{n,n-1} + n)(\Omega_{n,n-1} + n - 1)] = \lambda^2/(4v^2 Q_{-1} - 1)$ — параметр связи гармоник. Из (9) видно, что взаимодействие между гармониками распространяется на область $\Delta\Omega$, $|\Delta\omega| \sim \Lambda^{1/2}$. Эта область расширяется с увеличением λ и уменьшением x_\perp . При $v^2 > 1$ действительным $\Delta\omega$ соответствуют комплексные $\Delta\Omega$ с $\Delta\Omega'' = \rho/2 \geq 0$. С ростом $|l|$ взаимодействие гармоник ослабевает. Следовательно, амплитуда волн (2) с Ω и ω , близкими к линиям синхронизма, также не увеличивается. Таким образом, при $v^2 > 1$ магнитная подсистема устойчива.

При $v^2 < 1$ действительным $\Delta\omega$, для которых $|\pm v(1 - v^2)Q_{\pm 1}^{1/2}\Delta\omega_x + v^2x_{\perp,-1}\Delta\omega_\perp| < \lambda(1 - 4v^2 Q_{-1})^{1/2}$, соответствуют комплексные $\Delta\Omega$ с

$$\Delta\Omega'_\pm = v_{\{ \pm \}}^{(\pm)}\Delta\omega, \quad \Delta\Omega''_\pm = \frac{1}{2}\rho \pm [-(v_{\{-1\}}^{(-)}\Delta\omega)^2 - \Lambda]^{1/2}. \quad (10)$$

Вне указанного интервала $\Delta\Omega'' = \rho/2$, а $\Delta\Omega'_\pm$ определяется первыми двумя членами в (9). Из (10) следует, что магнитная подсистема будет неустойчива ($\Delta\Omega''_<0$), если $|\Lambda|$ превышает пороговое значение

$$|\Lambda_{\text{п}}| = \frac{1}{4}\rho^2 + (v_{\{-1\}}^{(-)}\Delta\omega)^2. \quad (11)$$

С приближением к линиям синхронизма порог уменьшается. На самих линиях $\lambda_n = (1 - 4v^2 Q)^{1/2}$, $\rho/2$ и определяется главным образом диссипацией. В отсутствие диссипации $\lambda_n = 0$. Используя (11), инкремент нарастания амплитуды волны можно записать в виде

$$\Delta\Omega'' = \rho/2 - [\rho^2/4 - \Lambda + \Lambda_{\text{п}}]^{1/2}. \quad (12)$$

Величина инкремента растет с превышением порога. Вблизи порога при условии $\Lambda_{\text{п}} - \Lambda \ll \rho^2/4$ величина $\Delta\Omega'' \approx -(\Lambda_{\text{п}} - \Lambda)/\rho$. Вдали от порога при выполнении обратного неравенства величина $\Delta\Omega'' \approx -(\Lambda_{\text{п}} - \Lambda)^{1/2}$.

Если соседние гармоники не взаимодействуют ($v^2 > [1 - 4(\Omega_H^2 - \rho^2/4)]/[1 + 4x_{\perp,n-1}^2]$), то неустойчивость магнитной подсистемы будет определяться линией синхронизма с минимальным значением $|l| > 1$. При $v^2 \rightarrow 1$ это значение растет. В окрестности линий пересечения гармоник с $|l| > 1$ из (6) при тех же предположениях, что и в (9), получаем аналогичное (9) соотношение

$$\Delta_l\Omega_\pm = v_{\{ \pm \}}^{(\pm)}\Delta_l\omega \pm [(v_{\{-1\}}^{(-)}\Delta_l\omega)^2 + \Lambda_l]^{1/2} + i(\rho/2). \quad (13)$$

Здесь

$$\begin{aligned} \Delta_l\omega &= \omega - (\omega_{n,n+1} + \omega_c), \quad \omega_c = \lambda^2[\pm(1 - v^2)Q_l^{1/2} + \\ &+ v^2x_{\perp,l}] \{v(1 - v^2)(l^2 - 1)[(1 - v^2)^2 Q_l + v^2x_{\perp,l}^2]\}^{-1}, \end{aligned}$$

знаки « \pm » соответствуют знакам в (8),

$$\Delta_l\Omega = \omega - (\omega_{n,n+1} + \omega_c), \quad \omega_c = v^2x_{cx}, \quad \Lambda_l = 4\lambda^4/[(4v^2 Q_l - l^2)(v^2 - 1)^2(l^2 - 1)^2].$$

Из (13) видно, что гармоники с $|l| > 1$ взаимодействуют слабее, чем соседние. Значение величин $\Delta_l\Omega$, $|\Delta_l\omega| \sim \Lambda_l^{1/2} \sim \lambda^2/(l^2 - 1)^2$. Взаимодействие уменьшается с ростом l . При $v^2 < 1$ действительным $\Delta_l\omega$, удовлетворяющим условию $|\pm v(1 - v^2)Q_l^{1/2}(\Delta_l\omega)_x + v^2x_{\perp,l}(\Delta_l\omega)_\perp| < \lambda^2(l^2 - 4v^2 Q_l)^{1/2}/[|l|(1 - v^2)(l^2 - 1)]$, соответствуют комплексные $\Delta_l\Omega$ с $\Delta_l\Omega'' < 0$, если λ превышает пороговое значение

$$\lambda_{pl} = \{\frac{1}{4}(l^2 - 4v^2 Q_l)(l^2 - 1)^2(v^2 - 1)^2(\frac{1}{4}\rho^2 + (v_{\{-1\}}^{(-)}\Delta_l\omega)^2)\}^{1/4}. \quad (14)$$

Порог растет с увеличением l^2 . В отличие от взаимодействия соседних гармоник здесь при $\Delta_l\omega = 0$ величина $\lambda_{pl} \sim \rho^{1/2}$. В отсутствие диссипации $\lambda_{pl} = 0$. Дисперсия и инкремент изменения амплитуды волны определяются формулами (10), (12), в которых необходимо заменить $\Delta\Omega$, $\Delta\omega$, $v_{\{ \pm \}}^{(\pm)}$, Λ соответственно на $\Delta_l\Omega$, $\Delta_l\omega$, $v_{\{-1\}}^{(-)}$, Λ_l . Таким образом, при $v^2 < 1$ магнитная подсистема неустойчива, если упругие деформации превышают пороговое значение. В бездиссипативной среде порог отсутствует.

Выше рассматривались собственные волны (2). Рост со временем этих волн означает неустойчивость магнитной подсистемы относительно флуктуаций в виде блоховских волн. Однако вероятность возникновения таких неограниченных в пространстве флуктуаций бесконечно мала. Поэтому необходимо исследовать устойчивость магнитной подсистемы относительно ограниченных в пространстве возмущений. Эти возмущения можно разложить по собственным функциям (2) и рассматривать как волновой пакет из блоховских функций. При этом условия устойчивости останутся прежними. Однако поведение волнового пакета в случае неустойчивости может быть различным. Локализованное в начальный момент времени возмущение может распространяться на все пространство, и амплитуда ϕ в каждой точке будет расти. Это соответствует абсолютной неустойчивости. В данном случае магнитная подсистема переходит в новое состояние. Для определения этого состояния необходимо решать нелинейное уравнение (1). В другом случае локализованное возмущение, нарастающее во времени, может сноситься в пространстве настолько быстро, что амплитуда ϕ в фик-

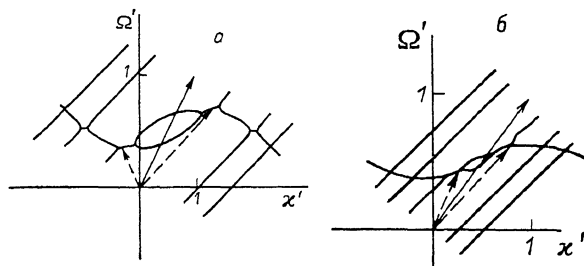


Рис. 1. Качественное изображение дисперсионных зависимостей в первой зоне Брилюэна для $|n| \leq 3$, $x_{\perp}=0$ и векторные диаграммы взаимодействия упругих и спиновых волн в случае абсолютной (а) и конвективной (б) неустойчивости.

Сплошные стрелки определяют фазовую скорость УВ, а штриховые — фазовые скорости СВ.

сированной точке во времени не увеличивается. Это соответствует конвективной неустойчивости. В данном состоянии флуктуации намагниченности усиливаются.

Для определения типа неустойчивости воспользуемся критериями, описанными в [8]. Асимптотическое поведение начального возмущения определяется особыми точками, в которых два корня $\omega(\Omega)$ дисперсионного уравнения (4) сливаются. Указанные особые точки расположены в окрестности линий синхронизма. Выразим из (9) $\Delta\omega_x$ как функцию $\Delta\Omega$, рассматривая $\Delta\omega_{\perp}$ в качестве параметра

$$(\Delta\omega_x)_{\pm} = v_{\perp}^{(+)}\Delta\tilde{\Omega} - e_{\perp}^{(+)}\Delta\omega_{\perp} \pm [(\sigma_{\perp}^{(-)}\Delta\tilde{\Omega} - e_{\perp}^{(-)}\Delta\omega_{\perp})^2 + \Delta/v_{\perp}^{(n)}]^{1/2}. \quad (15)$$

Здесь

$v_l^{(\pm)} = (v_{x,n}^{-1} \pm v_{x,n+l}^{-1})/2$, $e_l^{(\pm)} = (v_{x,n}^{-1}v_{\perp,n} \pm v_{x,n+l}^{-1}v_{\perp,n+l})/2$, $v_l^{(n)} = v_{x,n}v_{x,n+l}$, $l = -1$. При $|\Delta\Omega| \rightarrow \infty$ корень $(\Delta\omega_x)_+ \rightarrow \Delta\Omega/v_{x,n}$, а $(\Delta\omega_x)_- \rightarrow \Delta\Omega/v_{x,n-1}$. В случае $v_{x,n}v_{x,n-1} < 0$ эти корни лежат в разных полуплоскостях. При увеличении $\Delta\Omega''$ корни сливаются в особой точке $\Delta\Omega_B = i\rho/2 - i2(\Lambda v_{x,n}v_{x,n-1})^{1/2}/|v_{x,n} - v_{x,n-1}|$. Эта точка расположена в нижней полуплоскости, если $\rho^2 < \lambda^2(4Q_{-1} - v^2)/[Q_{-1}(1 - v^2)^2]$. Поскольку изменение ϕ при $t \rightarrow \infty$ определяется $\Delta\Omega_B$, то в данном случае ϕ будет неограниченно нарастать со временем (абсолютная неустойчивость). Спектр колебаний намагниченности в данном случае приведен на рис. 1, а. УВ распадается на две СВ с x -компонентами скоростей разных знаков. Из приведенного условия получим область магнитных полей и звуковых частот, соответствующих абсолютной неустойчивости $\Omega_H^2 < \{(1 - v^2)[1 - v^2/(1 - \rho^2)(1 - v^2)^2/4\lambda^2]\}/4 - v^2\omega_{1,-1}^2$. Если приведенное неравенство не выполняется, необходимо рассматривать линии синхронизма с $|l| > 1$, но только те, для которых $\lambda > \lambda_{nl}$. Перепишем (13) в виде

$$(\Delta_I\omega_x)_{\pm} = v_l^{(+)}\Delta_I\tilde{\Omega} - e_l^{(+)}\Delta_I\omega_{\perp} \pm [(\sigma_l^{(-)}\Delta_I\tilde{\Omega} - e_l^{(-)}\Delta_I\omega_{\perp})^2 + \Delta_I/v_l^{(n)}]^{1/2}. \quad (16)$$

Анализируя (16) таким же образом, как и (15), находим, что магнитная подсистема абсолютно неустойчива, если существует l из указанных выше, для которого выполняется неравенство $\rho^2 < 4\lambda^4 (4Q_l - \nu^2 l^2) / [l^2 (l^2 - 1)^2 (1 - \nu^2)^4 Q_l]$. Необходимым условием для этого является $v_{x,n} v_{x,n+l} < 0$, т. е. взаимодействующие активные гармоники ($\lambda_{nl} < \lambda$) должны иметь x -компоненты скоростей разных знаков. Таким образом, область магнитных полей и звуковых частот, соответствующих абсолютной неустойчивости, определяется соотношением

$$\Omega_H^2 < (l^2 (1 - \nu^2) / 4) [1 - \nu^2 (1 - \rho^2 l^2 (l^2 - 1)^2 (1 - \nu^2)^4 / 16 \lambda^4)^{-1}] - \nu^2 x_{\perp,-1}^2.$$

Если указанные неравенства не выполняются для всех l , которым соответствуют $\lambda_{nl} < \lambda$, то магнитная подсистема конвективно неустойчива. В частном случае $\lambda_{n1} < \lambda < \lambda_{n2}$, что приближенно соответствует условию $\rho/2 < \lambda < \rho^{1/2} (1 - \nu^2)^{3/4}$, магнитная подсистема конвективно неустойчива в диапазоне $(1 - \nu^2)/4 - \nu^2 x_{\perp,-1}^2 < \Omega_H^2 < \{1 - \nu^2 [1 - \rho^2 (1 - \nu^2)^2 / 4 \lambda^2]^{-1}\} (1 - \nu^2)/4 - \nu^2 x_{\perp,-1}^2$. С уменьшением λ этот диапазон растет. Достаточным условием конвективной неустойчивости является $v_{x,n} v_{x,n+l} > 0$. В параметрически возбуждаемой системе это условие выполняется благодаря дисперсии. Соответствующий спектр приведен на рис. 1, б. В данном случае УВ распадается на две СВ с x -компонентами скоростей одного знака. В отсутствие диссилиации $\lambda_{nl} = \lambda_{n1} = 0$ и всегда существует l такое, что $v_{x,n} v_{x,n+l} < 0$, и, следовательно, система абсолютно неустойчива. Конвективная неустойчивость при параметрическом возбуждении может существовать только в системах с дисперсией и диссилиацией.

Приведем численные оценки. В гематите $\alpha\text{-Fe}_2\text{O}_3$ величина $s \approx 3 \times 10^6 \text{ см}/\text{с}$, а скорость УВ $v_0 \approx 7 \cdot 10^5 \text{ см}/\text{с}$ [9], соответственно $\nu \approx 4.3$. Следовательно, магнитная подсистема не возбуждается УВ. В MnCO_3 величина $s \approx 1.5 \cdot 10^5 \text{ см}/\text{с}$, а $v_0 \approx 5 \cdot 10^5 \text{ см}/\text{с}$ [10, 11], следовательно, $\nu \approx 0.3$. Ширина линии АФМР $\Delta H \approx 10^2 \text{ Э}$, а $M_0 \approx 500 \text{ Э}$, при этом $\rho \approx 0.2$. Неустойчивость обусловлена только соседними гармониками, если $0.1 < \lambda < 0.5$. Полагая $\lambda \approx 0.11$, получаем область конвективной неустойчивости $0.17 < \Omega_H^2 < 0.23$. В области $\Omega_H^2 < 0.17$ магнитная подсистема абсолютно неустойчива.

Приведенное выше рассмотрение относится к случаю $\lambda \ll 1$. Однако критерии устойчивости не изменяются и при $\lambda \leq 1$. Подробно дисперсионные зависимости при $\lambda \leq 1$ могут быть легко исследованы численно, поскольку цепные дроби в (4) и (5) быстро сходятся. Для более точного учета Δx_{\perp} при $x_{\perp,l} \rightarrow 0$ в приведенных формулах необходимо заменить $x_{\perp,l}$ на $x_{\perp,l} + \Delta x_{\perp}/2$. Влияние диссилиации на спектр можно учесть заменой в полученных выражениях Ω_H^2 на $\Omega_H^2 - \rho^2/4$.

3. Распространение спиновых волн

Рассмотрим теперь граничную задачу о распространении СВ в присутствии УВ. Такая задача имеет смысл только для устойчивой или конвективно неустойчивой магнитной подсистемы. В данном случае ω действительная и задается внешним источником. Вдали от линий синхронизма дисперсионная зависимость и инкремент затухания определяются соотношениями

$$x'_{z\pm} = -n \pm \frac{1}{\sqrt{\nu^2}} (\sqrt{B^2 + C^2} + B)^{1/2}, \quad x''_{z\pm} = \pm \frac{1}{\sqrt{\nu^2}} (\sqrt{B^2 + C^2} - B)^{1/2}, \quad (17)$$

где $B = (\Omega + n)^2 - \nu^2 x_{\perp}^2 - \Omega_H^2$, $C = -\rho(\Omega + n)$. Знак x''_z выбирается из условия затухания волны, поскольку, как было показано выше, в рассматриваемых областях амплитуда волн не может увеличиваться. Вблизи линий пересечения дисперсионных поверхностей соседних гармоник на основании (15) имеем

$$(\Delta x'_z)_{\pm} = v_{\perp}^{(\pm)} \Delta \Omega - e_{\perp}^{(\pm)} \Delta x_{\perp} \pm \frac{1}{\sqrt{\nu^2}} (\sqrt{b^2 + c^2} + b)^{1/2}, \quad (18a)$$

$$(\Delta \omega_x)_{\pm} = -\frac{1}{2} \bar{\sigma}_{-1}^{(\pm)} \rho \pm \frac{i}{\sqrt{2}} (\sqrt{b^2 + c^2} - b)^{1/2}, \quad (186)$$

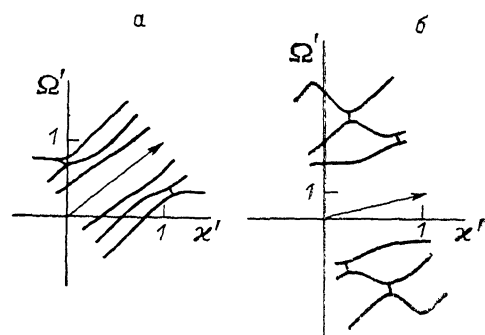
де

$$b = (\bar{\sigma}_{-1}^{(-)} \Delta \Omega - e_{-1}^{(-)} \Delta \omega_{\perp})^2 - (\bar{\sigma}_{-1}^{(+)} \rho / 2)^2 + \Lambda / v_{-1}^{(n)}, \quad c = -\rho \bar{\sigma}_{-1}^{(-)} (\bar{\sigma}_{-1}^{(-)} \Delta \Omega - e_{-1}^{(-)} \Delta \omega_{\perp}).$$

Если $b > 0$, то, как видно из (18), ветви гармоник расталкиваются, затухание обусловлено исключительно диссипацией. В отсутствие диссипации СВ распространяются без затухания. Условие расталкивания ветвей можно записать в виде $\rho^2 < \lambda^2 (4Q_{-1} - v^2) / (Q_{-1} (1 - v^2)^2)$. В устойчивой подсистеме это условие выполняется только при $\Lambda > 0$ и $v_{x,n} v_{x,n-1} > 0$. Последнее неравенство указывает на то, что гармоники должны иметь x -компоненты скоростей одного знака. В данном случае СВ рассеиваются на УВ без изменения знака x -компоненты фазовой скорости. Соответствующие дисперсионные зависимости изображены на рис. 2, а.

Все СВ можно разделить на быстрые и медленные. Фазовая скорость быстрых СВ больше скорости УВ, а медленных меньше. Такое различие возникает из-за того, что в присутствии УВ распространение СВ в положительном и отрицательном направлениях оси X становится неэквивалентным. Энергия медленных СВ положительная в устойчивой подсистеме и отрицательная в неустойчивой подсистеме [12].

Рис. 2. Качественное изображение дисперсионных зависимостей в первой зоне Бриллюэна для $|n| \leq 3$, $x_{\perp}=0$ в случае расталкивания ветвей (а) и непропускания (б).



Если $b < 0$, то ветви $(\Delta \omega')_{\pm}$ сливаются, а инкремент изменения амплитуды волн определяется не только диссипацией, но и взаимодействием гармоник. Данное условие выполняется в интервале частот $\Delta \Omega' < \rho^2 / 4 - \lambda^2 (4Q_{-1} - v^2) / [Q_{-1} (1 - v^2)^2]$. В случае устойчивости в указанном интервале СВ сильно затухают. Имеет место непропускание. Дополнительное к диссипации затухание обусловлено брэгговским отражением. При $v^2 > 1$ значение $\Lambda > 0$ и, следовательно, достаточным условием непропускания является взаимодействие гармоник вблизи точек синхронизма с x -компонентами скоростей разных знаков ($v_{x,n} v_{x,n-1} < 0$ или $4\Omega_n^2 < (1 - v^2)^2 - 4v^2 x_{\perp,-1}^2$). Затухание за счет брэгговского отражения преобладает над диссипативным затуханием в случае $\lambda > \rho |v^2 - 1| / 2$. Соответствующий спектр приведен на рис. 2, б. В данном случае СВ рассеиваются на УВ с изменением знака x -компоненты фазовой скорости на противоположный.

В конвективно-неустойчивой подсистеме возможно усиление СВ. Для определения условий усиления обратимся к выражению (15). При $\Delta \Omega'' \rightarrow -\infty$ корни $(\Delta \omega_x)_{\pm}$ будут лежать в одной полуплоскости, если $v_{x,n} v_{x,n-1} > 0$. В случае $v_{x,n}, v_{x,n-1} > 0$ эти корни лежат в нижней полуплоскости. При $\Delta \Omega'' = 0$ корни комплексно сопряжены, причем корень $(\Delta \omega_x)_+$ переходит из нижней полуплоскости в верхнюю. Следовательно, усиливаться будут СВ, распространяющиеся в направлении УВ [8]. Кроме того, необходимо, чтобы $|\Lambda|$ превышал пороговое значение

$$|\Lambda_n| = \frac{1}{4} \rho^2 + \left(\frac{\bar{\sigma}_{-1}^{(-)}}{\bar{\sigma}_{-1}^{(+)}} \Delta \Omega + \frac{e_{-1}^{(-)}}{\bar{\sigma}_{-1}^{(+)}} \Delta \omega_{\perp} \right)^2. \quad (19)$$

Величина порога уменьшается при $\Delta \Omega, x_{\perp,-1} \rightarrow 0$ и при $v^2 \rightarrow 1 - 2\Omega_H$. Минимальное значение $\lambda_{n \min} = \rho [\Omega_H (1 - \Omega_H)]^{1/2}$, причем $\Omega_H < 1/2$. Вблизи

порога из (18б) с учетом (19) инкремент нарастания амплитуды волны можно выразить в виде

$$\Delta x''_x = -v_{x,-1}^{(+)} (\Lambda - \Lambda_{\pi}) / [v_{x,-1}^{(\pm)} \rho^2 - 4(v_{x,-1}^{(-)})^2 \Lambda_{\pi}]. \quad (20)$$

С превышением $|\Lambda|$ над порогом инкремент линейно растет. Вдали от порога $\Delta x''_x \sim (\Lambda_{\pi} - \Lambda)^{1/2}$.

Если выразить из (15) Δx_{\perp} как функцию $\Delta \Omega$ и рассматривать Δx_{\perp} в качестве параметра, то видно, что в отсутствие диссипации и при $\Delta x_x = 0$ действительным $\Delta \Omega$ соответствуют действительные Δx_{\perp} . Следовательно, СВ, распространяющиеся нормально по отношению к УВ, не усиливаются.

Дисперсионные зависимости и инкремент изменения амплитуды СВ в окрестности линий синхронизма с $|l| > 1$ будут описываться, как видно из сравнения (15) и (16), соотношениями (18)–(20) с заменой в них Δx_x , $\Delta x_{\perp,-1}$, $\Delta \Omega$, $v_{x,-1}^{(\pm)}$, Λ соответственно на $\Delta_i x_x$, $\Delta x_{\perp,i}$, $\Delta_i \Omega$, $v_{i,-1}^{(\pm)}$, Λ_i . Если $b_i > 0$, то гармоники расталкиваются. Это условие может выполняться только в устойчивой подсистеме при $\Lambda_i > 0$ и $v_{x,n} v_{x,n+l} > 0$. Если же $b_i < 0$, то в случае устойчивости магнитной подсистемы имеет место непропускание, а в случае конвективной неустойчивости — усиление СВ. При фиксированной частоте будут возбуждаться все гармоники. Соотношение между амплитудами гармоник определяется выражением (5).

Приведем численные оценки. В гематите $\Delta H \approx 10^2$ Э, $M_0 \approx 10^3$ Э соответственно $\rho \approx 0.1$. Ветви гармоник расталкиваются при $\Omega_H \geqslant 8$ и $\lambda > 1$. Эти условия при $d \approx 10$, $e \approx 10^4$, $H_0 \approx 20$ Э, $B_{66} \approx 10^7$ эрг/см³ записываются в виде $\omega_0 \leqslant 10^8$ с⁻¹, $u_{xx}^{(0)} > 10^{-5}$. Непропускание имеет место при $\Omega_H \leqslant 8$, $\omega_0 \geqslant 10^8$ с⁻¹. Брагговское отражение эффективно при $u_{xx}^{(0)} > 10^{-5}$. В MnCO₃ величина порога $u_{xx,n}^{(0)} \approx 10^{-6}$, а инкремент нарастания СВ вблизи порога $\Delta k'' \approx 10$.

Рассмотрим обратное влияние магнитной подсистемы на упругую. Анализ уравнений магнитоупругости показывает, что магнитная подсистема действует на упругую как вынуждающая сила с компонентами вида $\cos(n+m)\xi_0$, $\sin(n+m)\xi_0$, $\cos\xi$, $\cos 2\xi$, где $\xi = \omega t - kx$, а также производными от этих компонент с фазами, равными полусумме и полуразности. Резонансные компоненты вида $\cos\xi_0$ приводят к изменению скорости волны накачки. Ограничиваюсь членами порядка λ (гармоники φ_0 , φ_{\pm}), скорость продольной волны с учетом МУ связи можно представить в виде

$$v^2 = v_0^2 - \frac{\lambda B_{66} \varphi_0^2}{\rho u_{xx}^{(0)}} (\text{Re } \alpha = 1). \quad (21)$$

Поправки к v_0 возрастают в точках синхронизма. Так, в случае расталкивания ветвей в точке ($n=0$, $m=-1$) относительное изменение скорости равно $\Delta v/v_0 = \pm B_{66} \varphi_0^2 (4v^2 Q - 1)^{1/2} / 4\rho v_0^2 u_{xx}^{(0)} (1/2 + v^{1/2})$. В данном случае СВ верхней ветви ускоряет УВ, а СВ нижней ветви замедляет ее. Для гематита при $u_{xx}^{(0)} \approx 10^{-6}$, $Q \approx 1/2$ находим $\Delta v/v_0 \approx \pm 10 \varphi_0^2$ и при $\varphi_0 \approx 10^{-2}$ величина $\Delta v/v_0 \approx \pm 10^{-3}$. Следовательно, СВ слабо влияют на скорость УВ. Амплитуда поперечной УВ $u_{xy}^{(0)} = B_{66} \varphi_0 / (\rho \omega^2 - c_{66} k^2) \sim \varphi_0$.

4. Обсуждение результатов

Колебания намагниченности при распространении УВ поперек магнитного поля описываются уравнением (1) с заменой h_x на h_y . Поэтому полученные результаты остаются справедливыми и для данного случая. Влияние переменных магнитных полей рассмотрено в Приложении. При распространении СВ вдоль постоянного магнитного поля размагничивание слабо влияет на спектр СВ. Аналогичное (1) уравнение получается и при взаимодействии магнитной подсистемы с электромагнитной волной, имеющей компоненту магнитного поля, параллельную постоянному магнитному полю. Следовательно, полученные выше результаты с точностью до переобозначений относятся и к данному случаю. Вследствие того что скорость электро-

магнитной волны значительно превышает скорость СВ, область конвективной неустойчивости будет очень узкой. Возможно, это одна из причин, по которой наблюдать усиление СВ электромагнитной волной чрезвычайно трудно. Наиболее эффективно с электромагнитной волной будут взаимодействовать СВ высокочастотных ветвей спектра.

В ЛП антиферромагнетиках низкочастотные упругие поперечные и продольные волны эффективно связаны через магнитную подсистему. Поэтому рассмотренные эффекты должны наблюдаться и в упругой подсистеме магнетика. В частности, возможно усиление поперечной УВ продольной УВ.

Изменение амплитуды колебаний φ из-за взаимодействия СВ со звуком приводит к пространственной неоднородности среднего магнитного момента. В результате в магнетике возникает постоянное поле размагничивания, не связанное с формой образца. Этот эффект аналогичен акустоэлектрическому эффекту в полупроводниках.

Отношение скоростей спиновой и упругой волн в магнетике пропорционально отношению температуры Нееля к температуре Дебая ($v \sim T_N/T_D$). Величина $T_D \sim 10^2$ К, а T_N изменяется в широких пределах от ~ 1 до $\sim 10^3$ К. Поэтому выбором материала можно реализовать в эксперименте любое состояние магнитной подсистемы.

Авторы благодарны М. И. Каганову, Ф. В. Лисовскому и В. Л. Преображенскому за обсуждение результатов работы и полезные замечания.

ПРИЛОЖЕНИЕ

Учет переменных магнитных полей сводится к замене в (1) ω_H^2 на $\omega_H^2 + \tilde{\omega}_1^2$, где $\tilde{\omega}_1^2 = e \omega_0^2 \tilde{h}_x / 4$, и к добавлению в правую часть (1) слагаемого $\tilde{\omega}_2^2 \cos \varphi$, где $\tilde{\omega}_2^2 = e \omega_0^2 \tilde{h}_y / 4$. Переменную составляющую поля размагничивания можно записать на основании уравнений магнитостатики в виде

$$\tilde{h}_d = -4\pi \sum_{n=-\infty}^{\infty} [\tilde{m}_n(t)(k + n k_0)] ((k + n k_0)/(k + n k_0)^2) \exp [-i(k + n k_0)r].$$

Переменная составляющая $\tilde{m}(t) = \psi_0 [i(-\sin^2 \varphi) + j \sin \varphi] + k \theta$. Поскольку $\varphi \ll 1$, а $\theta \approx -2 \psi_0 \dot{\varphi} / \omega_0 d \ll \omega_0 \varphi$, то $\tilde{m}(t) \approx j \psi_0 \varphi$ и, следовательно, $\tilde{m}_n(t) = j \psi_0 \varphi_n(t)$. В результате получаем

$$\tilde{\omega}_2^2 = - \sum_{n=-\infty}^{\infty} \omega_{dn}^2 \varphi_n(t) \exp [-i(k + n k_0)r],$$

где

$$\omega_{dn}^2 = \pi \omega_0^2 (e + b) \psi_0 x_y^2 / [(x_x + n)^2 + x_\perp^2], \quad \tilde{\omega}_1^2 \ll \omega_H^2.$$

Таким образом, учет размагничивания сводится к добавлению в a_n слагаемого $\Omega_{dn}^2 = \omega_{dn}^2 / \omega_0^2$. В случае $x_y^2 / [(x_x + n)^2 + x_\perp^2] \ll h_x$ или $v^2 / [(x_x + n)^2 + x_\perp^2]^2 \gg \pi(e + b) \psi_0 x_y^2$ это слагаемое мало по сравнению с остальными и размагничивание слабо влияет на спектр СВ. В частности, при $h_x > 1$ размагничивание можно не учитывать. В случае $\Omega_{dn}^2 \gg v^2 / (x + n x_0)^2$ пространственная дисперсия определяется полями размагничивания. Выражения (2), (4) и (5) с учетом Ω_{dn}^2 определяют собственные безобменные СВ. Используя приведенное выше рассмотрение, можно определить все параметры этих СВ.

Список литературы

- [1] Гуревич А. Г. // ФТТ. 1964. Т. 6. № 3. С. 2376–2388.
- [2] Haas C. W. // J. Phys. Chem. Sol. 1966. V. 27. N 10. P. 1687–1695.
- [3] Matthews H., Morgenthaler F. R. // Phys. Rev. Lett. 1964. V. 13. N 21. P. 614–616.
- [4] Cassedy E. S., Oliner A. A. // Proc. IEEE. 1963. V. 51. N 10. P. 1330–1359.
- [5] Кирюхин Н. Н., Лисовский Ф. В. // ФТТ. 1968. Т. 10. № 3. С. 709–721.

- [6] Туров Е. А., Шавров В. Г. // УФН. 1983. Т. 140. № 2. С. 429—462.
- [7] Бриллюэн Л., Пароди М. Распространение волн в периодических структурах. М.: ИЛ, 1951. 457 с.
- [8] Лифшиц Е. М., Питаевский Л. П. Физическая кинетика. М., 1979. 527 с.
- [9] Seavey M. H. // Sol. St. Comm. 1972. V. 10. N 2. P. 219—223.
- [10] Гакель В. Р. // ЖЭТФ. 1974. Т. 67. № 6. С. 1827—1842.
- [11] Holden T. M., Svenson E. C., Martel P. // Canad. J. Phys. 1972. V. 50. N 7. P. 687—691.
- [12] Sturrock P. A. // J. Appl. Phys. 1960. V. 31. P. 2052—2056.

Институт радиотехники
и электроники АН СССР
Москва

Поступило в Редакцию
18 июля 1988 г.
В окончательной редакции
9 марта 1989 г.
